

Kontinuum

Diagnosticke metody 1

Zdeněk Navrátil

Ústav fyzikální elektroniky PřF MU, Brno

Proč se zabývat kontinuem?

- ① rozšířené možnosti pro diagnostiku plazmatu
- ② významný zdroj záření a ztrát plazmat s vyšším stupněm ionizace

Continuum radiation is a significant part of the total power balance of specialty lamps such as the UHP lamps from Philips. Continuum radiation completes the colour balance of UHP lamps in the red, and makes it possible to use these lamps in LCD projection systems.

Bremsstrahlung radiation from e-H and e-He collisions is a major part of the opacity of stellar atmospheres.

Lawler J E (2004) J. Phys. D: Appl. Phys. 37 1532

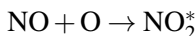
Difúzní molekulová spektra

Nejběžnější způsoby vzniku

- kontinua víceatomových molekul
- disociace
- predisociace

„Nepravá“ kontinua – NO₂

chemoluminescence:



Nitrogen dioxide (NO₂) is notorious for its complex visible spectrum and has frustrated many chemists and physicists...

Uehara K and Sasada H 1985 *High Resolution Spectral Atlas of Nitrogen Dioxide 559-597 nm*
Springer Series in Chemical Physics
mezi 559 - 596 nm kolem 13300 čar

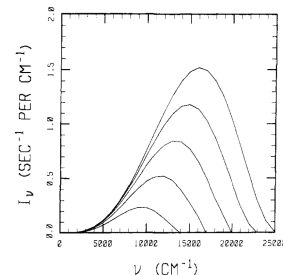
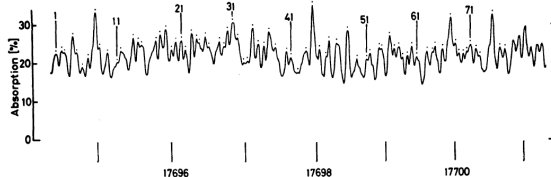
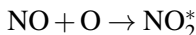


Figure 2. The model continuum spectrum as a function of excitation energy. From bottom to top, $E = 13\,000$, $16\,000$, $19\,000$, $22\,000$, and $25\,000 \text{ cm}^{-1}$.

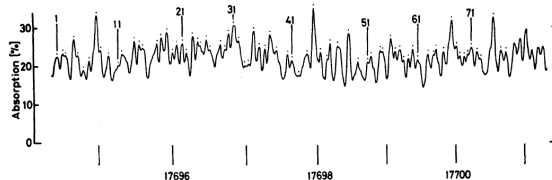
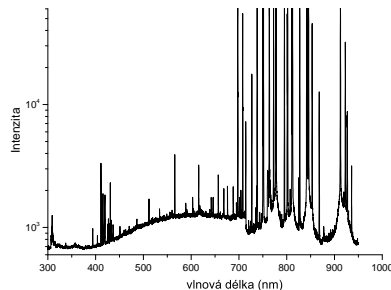
„Nepravá“ kontinua – NO₂

chemoluminescence:



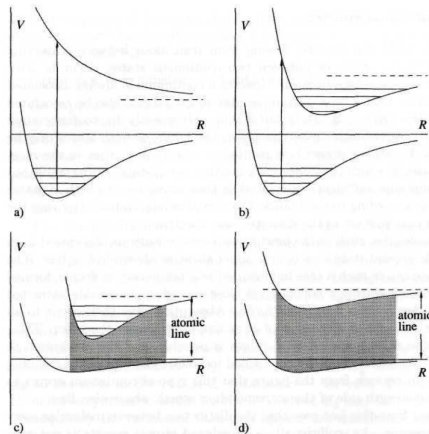
Nitrogen dioxide (NO_2) is notorious for its complex visible spectrum and has frustrated many chemists and physicists...

Uehara K and Sasada H 1985 *High Resolution Spectral Atlas of Nitrogen Dioxide 559-597 nm*
Springer Series in Chemical Physics
mezi 559 - 596 nm kolem 13300 čar



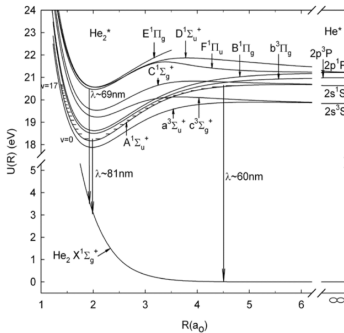
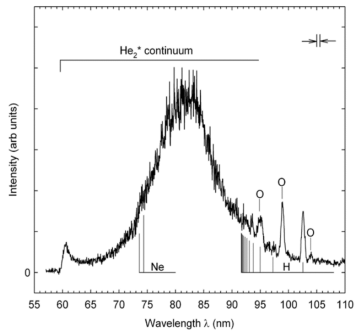
Disociace molekuly

- jeden z molekulových stavů má spojité spektrum energií
- disociace molekuly $AB \rightarrow A + B$



a) fotodisociace, opačný proces málo pravděpodobný, c), d) VdW vazba

VUV kontinua vzácných plynů – excimery



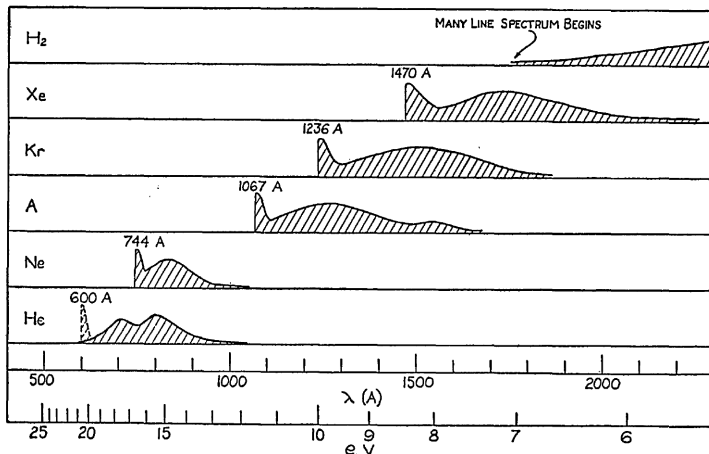
Hopfieldovo kontinuum He₂ ($\text{A}^1\Sigma_u^+ \rightarrow \text{X}^1\Sigma_g^+$): 60–120 nm

He₂ ($\sigma_g 1s$)² ($\sigma_u 1s$)² X^{1Σ_g⁺ – VdW vazba, 152 neV}

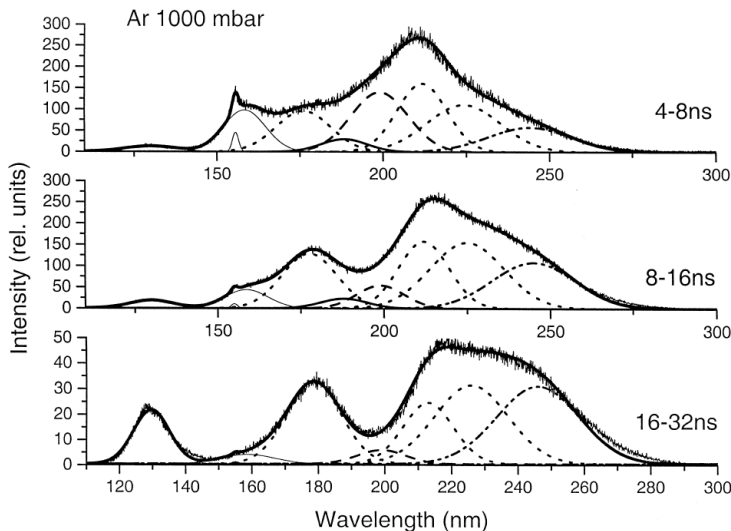
He₂ ($\sigma_g 1s$)² ($\sigma_u 1s$) ($\sigma_g 2s$) A^{1Σ_u⁺}

narození od atomové čáry není kontinuum absorbováno samoabsorpčí
intenzivní zdroje UV záření za atmosférického tlaku

VUV kontinua vzácných plynů



Třetí kontinua vzácných plynů

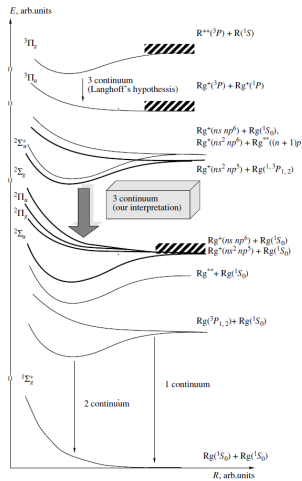


Wieser 2000 – Ar

Třetí kontinua vzácných plynů – původ

Hypotézy původu

- Rg_2^{2+*}
- Rg_2^{+*}

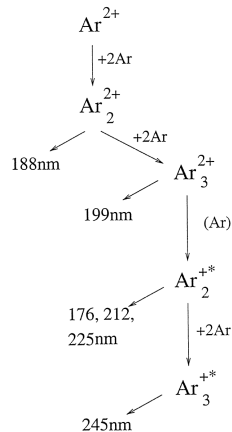
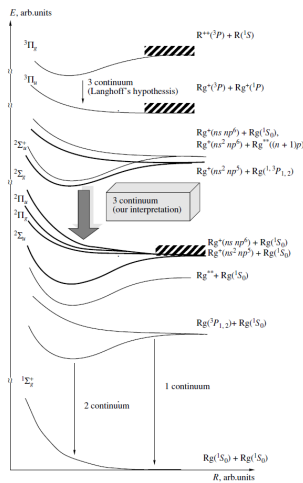


Boichenko 1999

Třetí kontinua vzácných plynů – původ

Hypotézy původu

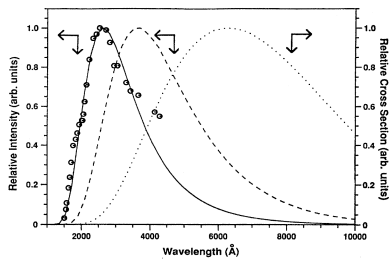
- Rg_2^{2+*}
 - Rg_2^{+*}



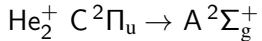
Boichenko 1999

Wieser 2000

Třetí kontinua vzácných plynů – helium

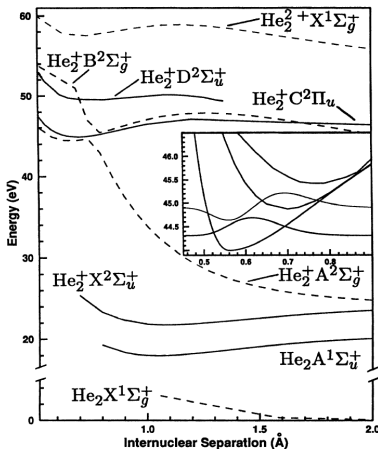


kontinuum Huffmann-Tanaka

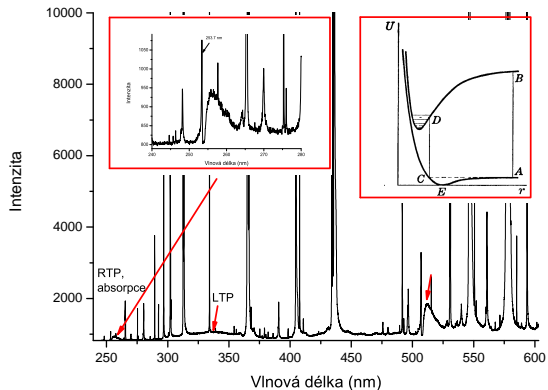


max 360 nm, klesá do 650 nm při 300 K

Hill 1991, vliv podmínek na tvar kontinua

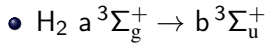
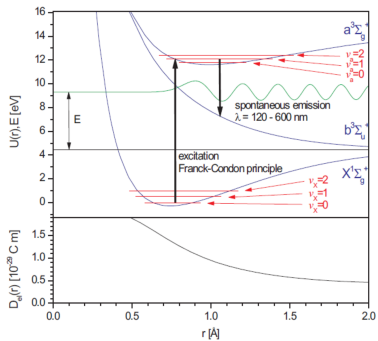


UV/VIS kontinuum rtuti

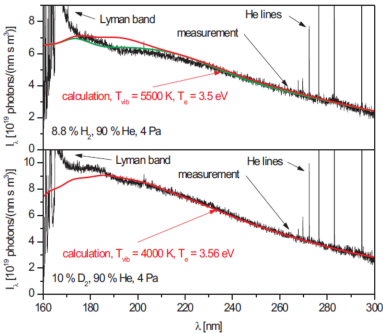


- Hg: [Xe] 4f¹⁴ 5d¹⁰ 6s² → nestabilní základní stav Hg₂
- kontinua Hg₂ na 253 nm, 335 a 485/510 nm, druhý řád

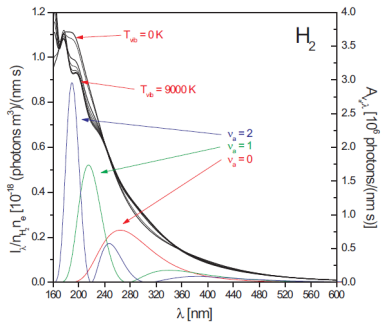
UV kontinuum vodíku



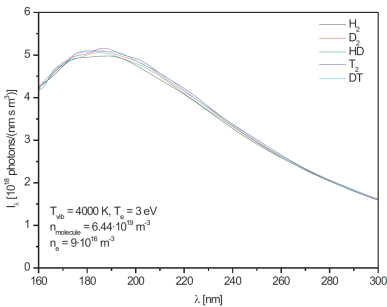
Fantz U, Schalk B and Behringer K 2000 Calculation and interpretation of the continuum radiation of hydrogen molecules *New Journal of Physics* 2 7.1



UV kontinuum vodíku



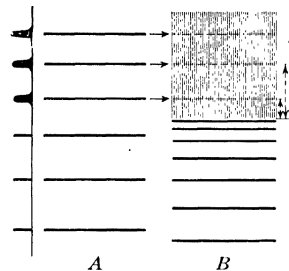
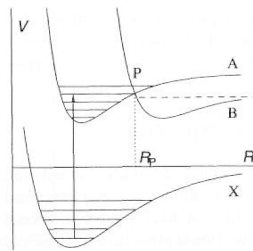
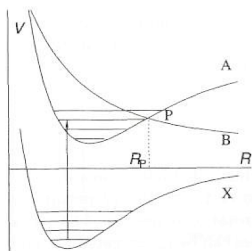
vliv vibrační excitace



vliv izotopů

- tvar kontinua závisí na T_{vib} , absolutní intenzita na T_e
- standard pro kalibraci spektrometrů v UV oblasti

Predisociace



- konfigurační interakce mezi diskrétními a spojitými stavami energií
- vede k: zeslabení/vymizení části spektra (nezářivý rozpad), rozmažání hladin v okolí křížení
- obdoba preionizace/autoionizace

Predisociace

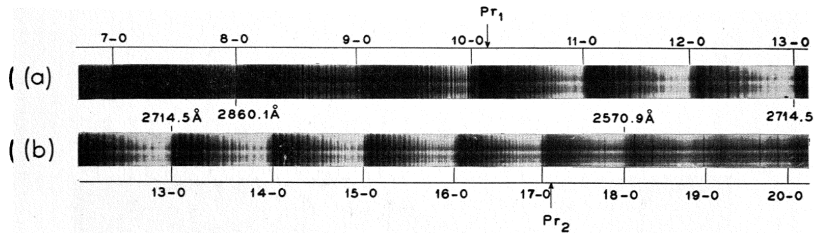


FIG. 16. Absorption Spectrum of S_2 Vapor. (a) and (b) give two adjacent parts of the same original spectrogram; they overlap slightly (13-0 band). The arrows denoted by Pr indicate the positions at which the bands become diffuse. The emission lines at the right in (b) are lines of H_2 (first order overlapping the second order spectrum).

Predisociace S_2

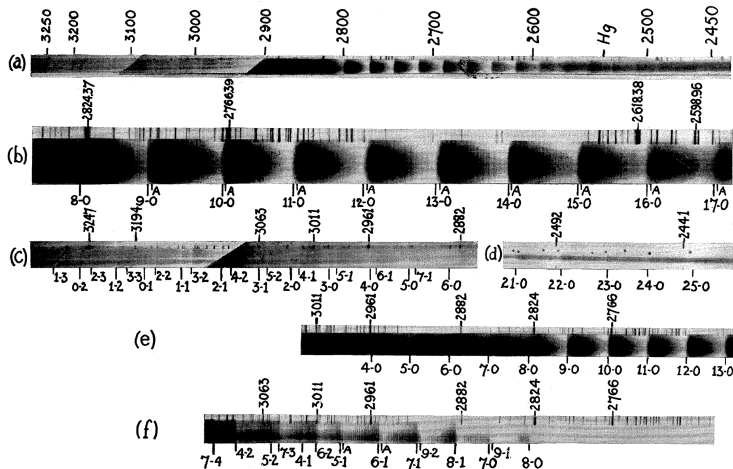


Fig. 1. (a) S_2 spectrum investigated in absorption. (b) Part of (a) showing the first region of predissociation between $\lambda 2792.8$ and $\lambda 2615.0$ and the first band of the second region below $\lambda 2615$. (c) Absorption spectrum obtained with sulphur cell at about 750°C . (d) Bands of the second region of predissociation showing indications of rotational structure. (e) Absorption spectrum obtained with sulphur cell at about 450°C . (f) Emission spectrum of S_2 .

By comparing (e) and (f) one sees that the bands which become diffuse in absorption due to predissociation do not appear in emission.

Difúzní atomová spektra

Možné způsoby vzniku difúzního/spojitého spektra

- opticky husté plazma (*blackbody limit* a saturace čar)
- rozmazání hladin
- fb přechody
- ff přechody

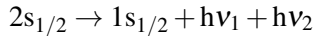
Spontánní dvoufotonová emise?

$$h\nu_1 + h\nu_2 = E' - E''$$

Spontánní dvoufotonová emise?

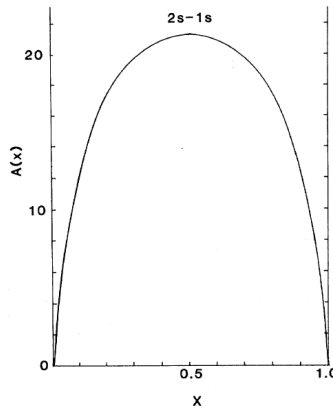
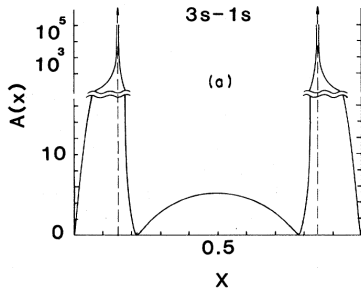
$$h\nu_1 + h\nu_2 = E' - E''$$

Př. vodík



$$A = 8,229 Z^6 s^{-1}$$

Klarsfeld S 1969 *Phys. Lett.* 30A, 382.



Tung J H et al 1984 *Phys. Rev. A* 30 1175

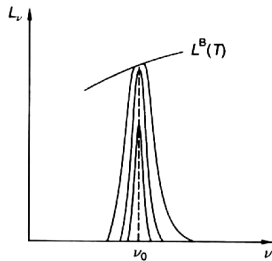
Opticky husté plazma

$$L_I(v) = S'(v)[1 - e^{-k'(v)I}]$$

- opticky tlusté LTE plazma:

$$L_I(v) = S'(v) = L^B(v)$$

- Kirchhoffův zákon pro atomy
- nezrealizuje široké spektrum energií
- nebude v potaz vliv absorpce na populaci vyšších stavů
- samozvrat čáry v nehomogenním plazmatu



saturace čáry

Opticky tlusté plazma – emisivita a absorbilita

- vystupující záření z opticky tlustého plazmatu

$$L_I(v) = S'(v)[1 - e^{-k'(v)l}]$$

- LTE plazma:

$$S'(v) = L^B(v)$$

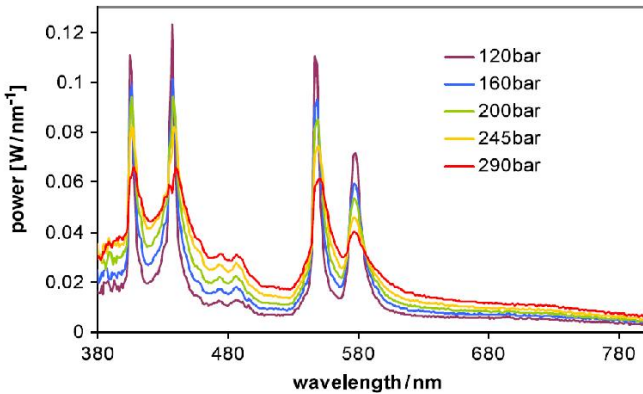
$$L_I(v) = L^B(v) \cdot \overbrace{[1 - e^{-k'(v)l}]}^{A(v)}$$

- A – absorpční funkce, absorbilita (doplňek do 1 k propustnosti T)
- pokud $A = 1$, vše se pohltí, pak $L_I(v) = L^B(v)$
- v praxi se pojem emisivity (\times koeficient emise) může používat pro výraz

$$\epsilon(v) = L(v)/L^B(v) = A(v)$$

viz pyrometrie

Opticky husté plazma



UHP zdroje, sodíkové čáry

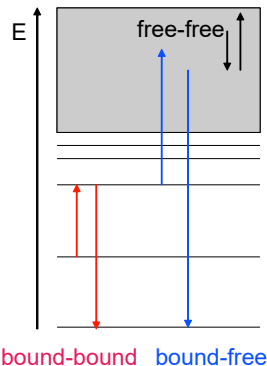
b-b, b-f a f-f přechody

- fotoionizace
- rekombinační záření při záchytu elektronu iontem \mathcal{E}_{ei}^{fb}
- záchyt elektronu atomem (vznik negativního iontu)

$$H + e^- + \epsilon \leftrightarrow H^- + h\nu,$$
- brzdné záření na iontech \mathcal{E}_{ei}^{ff}
- brzdné záření na atomech \mathcal{E}_{ea}^{ff}
- fotoasociace/fotodisociace

$$He^+(1s) + He(1s^2) \leftrightarrow He_2^+ + h\nu$$
- radiační přenos náboje

$$He^+(1s) + He(1s^2) \rightarrow He + He^+ + h\nu$$



bound-bound bound-free

Volné a vázané stavy

Neostrá hranice mezi volnými a vázanými stavy vlivem

- snížení ionizačního potenciálu
- splývání diskrétních hladin vlivem jejich rozšíření

Snížení ionizačního potenciálu

K odstínění pole jádra v přítomnosti nabitého částic dojde na Debyeově délce

$$\lambda_D = \sqrt{\frac{\epsilon_0 k_B T}{n_e e^2}}.$$

snížení ionizačního potenciálu atomu o

$$U_D = \frac{Z_{\text{ef}} e^2}{4\pi\epsilon_0 \lambda_D}$$

pro $Z_{\text{ef}} = 1$, $T = 10^4 \text{ K}$, $n_e \approx 10^{16} \text{ cm}^{-3}$ je

$$\lambda_D \approx 7 \cdot 10^{-8} \text{ m} = 1304 a_0 \quad \rightarrow \quad n^* = \sqrt{Z_{\text{ef}} \lambda_D / a_0} \approx 36$$

$$U_D \approx 0,02 \text{ eV}$$

Malé snížení, obtížně měřitelné. $Q(T)$ konečné.

Splývání hladin vlivem jejich rozšíření

- vzdálenost mezi hladinami

$$\delta E_n = hcRZ^2 \left[\frac{1}{(n-1)^2} - \frac{1}{n^2} \right]$$

- rozšíření hladiny lineárním Starkovým jevem

$$\Delta E_n \propto n^2 |\vec{E}|, \quad |\vec{E}| \propto 1/\bar{R}^2, \quad \bar{R} \propto n_e^{-1/3}$$

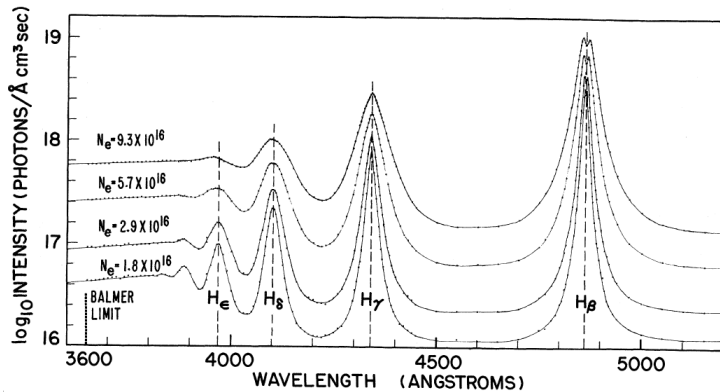
- limit Inglis-Teller pro atom (Z_a) a perturber (Z_p)

$$\delta E_n \approx \Delta E_n$$

$$[\text{p}] = \frac{Z_a^{4,5}}{Z_p^{1,5}} \frac{1}{n_m^{7,5}} 10^{29,12} \text{ m}^{-3}$$

n_m – nejvyšší kvantové číslo pozorovaného přechodu

Splývání hladin vlivem jejich rozšíření



obloukový výboj ve vodíku, $T \approx 10^4 \text{ K}$

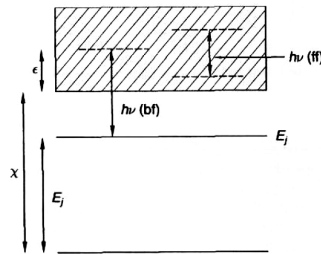
Wiese et al 1972 Phys. Rev A 6 1132

fb přechody

- $A_j + h\nu \leftrightarrow A^+ + e^- + \epsilon$
 - fotoionizace z vázaného stavu
 - ← radiační rekombinace, záchyt elektronu
- Einsteinův-Milneho vztah (účinný průřez pro záchyt)

$$\frac{\sigma(v)}{\alpha(v)} = \frac{h^2 v^2}{m^2 c^2 v^2} \frac{g_j}{g_{j0}}$$

$\sigma(v)$ – průřez pro záchyt, $\alpha(v)$ – absorpční účinný průřez $\alpha(v) = k(v)/n_j$,
 g – stat. váhy stavů atomu a iontu



$$h\nu = \chi + \epsilon - E_j$$

$$\epsilon = \frac{1}{2}mv^2$$

Výpočet koeficientu emise fb přechodů

- nalezneme $\alpha(v)$
- Kirchoffův zákon v LTE

$$\frac{j(v)}{k'(v)} = L^B(v)$$

- obecně pro Maxwellovo rozdělení

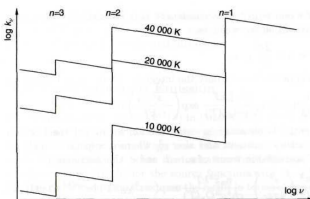
$$j(v) = \frac{h^2}{m} \left(\frac{m}{2\pi kT} \right)^{3/2} n_i n_e v \sigma(v) v^2 e^{-\varepsilon/kT}$$

Absorpční průřez pro fotoionizaci

$$\alpha_n(v) = \frac{64}{3^{3/2}} \pi a_0^2 \alpha \left(\frac{\chi_H}{hv} \right)^3 \frac{Z^4}{n^5} G_n^{\text{bf}}(v, Z)$$

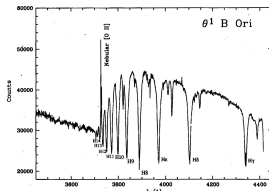
$$n_n = \frac{n_a}{Q(T)} 2n^2 e^{-\frac{Z^2 \chi_H}{kT} (1 - 1/n^2)}$$

$$k(v) = \sum_n n_n \alpha_n(v)$$

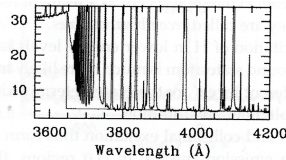


- atom vodíkového typu
- $G_n^{\text{bf}}(v, Z)$ – Gauntův faktor
- $\alpha \propto 1/n^5$ – při vysokých energiích hrají velkou roli dolní stav
- $\alpha \propto 1/v^3$ – pokles intenzity po dosažení energie excitovaného stavu

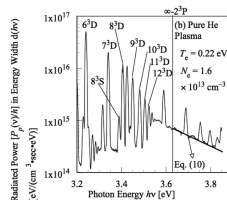
fb přechody



fotoionizace



fotorekombinace H



fotorekombinace He

- Radiační rekombinace je velmi málo pravděpodobná.
 - Rekombinace nabitych častic na stěnách
 - Disociativní rekombinace molekulárních iontů za atmosférického tlaku.
 - oblouky, H II oblasti mlhovin

Výpočet $k'(\lambda)$ v obloukových výbojích

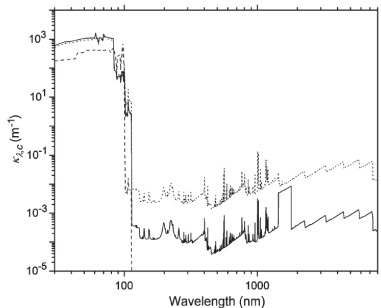


Fig. 9. Continuum absorption coefficient at 0.1 MPa. Dash line: 5000 K, straight line: 8000 K and dotted line: 10 000 K.

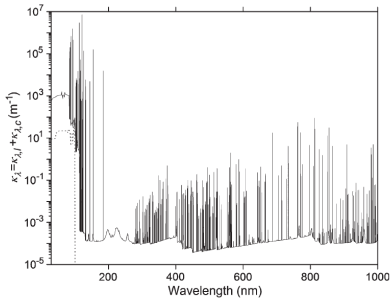


Fig. 11. Total absorption coefficient at 0.1 MPa and 8000 K. Straight line: total absorption coefficient and dotted line: molecular contribution to the k_λ .

Adineh 2012 IEEE Trans. Plasma Sci. 40 853

Absorpční koeficienty pro fb a ff přechody

pro LTE, Maxwellovo rozdělení, vodíku podobné atomy (s nábojem jádra z)

$$\begin{aligned} k^{\text{fb}}(v) &= \frac{16\pi^2}{3^{3/2}} \left(\frac{e^2}{4\pi\varepsilon_0}\right)^3 \frac{2z^2 n_a k T}{c h^4 Q_a(T) v^3} \exp\left(-\frac{z^2 \chi_H}{k T}\right) \left(e^{\frac{hv}{kT}} - 1\right) \\ k^{\text{ff}}(v) &= \frac{16\pi^2}{3^{3/2}} \left(\frac{e^2}{4\pi\varepsilon_0}\right)^3 \frac{2z^2 n_a k T}{c h^4 Q_a(T) v^3} \exp\left(-\frac{z^2 \chi_H}{k T}\right) G^{\text{ff}} \end{aligned} \quad (1)$$

Zjednodušující vztahy pro výpočet emisí kontinuí

- rekombinační záření při záchytu elektronu iontem

$$\mathcal{E}_{ei}^{fb} = C_1 Z^2 \frac{n_e n_i}{\lambda^2 \sqrt{T_e}} \left[1 - e^{-\frac{hc}{\lambda k T_e}} \right] \xi_{ei}^{fb}(\lambda, T_e)$$

- brzdné záření na iontech

$$\mathcal{E}_{ei}^{ff} = C_1 Z^2 \frac{n_e n_i}{\lambda^2 \sqrt{T_e}} e^{-\frac{hc}{\lambda k T_e}} \xi_{ei}^{ff}(\lambda, T_e)$$

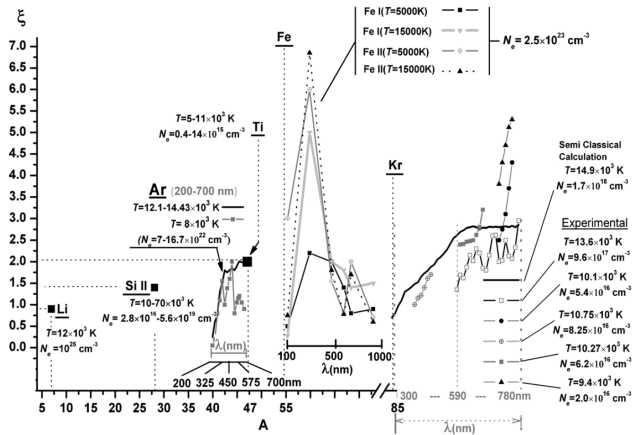
- brzdné záření na atomech

$$\mathcal{E}_{ea}^{ff} = \frac{1}{4\pi} n_e n_a h\nu \sqrt{\frac{2}{m_e}} \int_{h\nu}^{\infty} \frac{d\sigma(\varepsilon)}{d\lambda} f(\varepsilon) \varepsilon d\varepsilon,$$

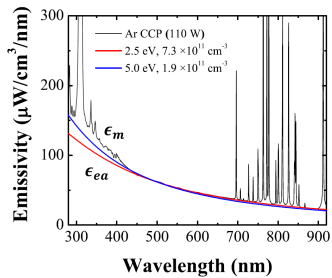
$$\frac{d\sigma(\varepsilon)}{d\lambda} = \frac{4\alpha}{3\pi} \frac{\varepsilon}{m_e c^2 \lambda} \sqrt{1 - \frac{h\nu}{\varepsilon}} \left(2 - \frac{h\nu}{\varepsilon} \right) \sigma_m(\varepsilon)$$

- Předpokládáme Maxwellovo rozdělení (T_e).
- $\xi_{ei}^{fb}(\lambda, T_e)$ a $\xi_{ei}^{ff}(\lambda, T_e)$ – Bibermannovy faktory

Bibermannovy faktory



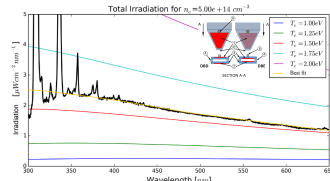
Neutrální bremsstrahlung v RF výbojích



α -mode RF DBD in argon

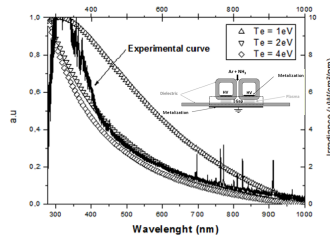
Park *et al* 2014 *Appl. Phys. Lett.* **104** 084103

- $I_{ff}^{ea} \gg I_{ff}^{ei} + I_{fb}^{ei}$ for $[i]/[a] \sim 10^{-3}$
- for electron density and temperature measurement
- RF DBD, OES of active discharge



RF DBD/DBE jet in argon

Nikiforov *et al* 2016 *Plasma Phys. Control. Fusion* **58** 014013



RF DBD in Ar + NH₃

Bazinette *et al* 2015 *Plasma Sources Sci. Technol.* **24** 055021

Kontinua v RF výbojích

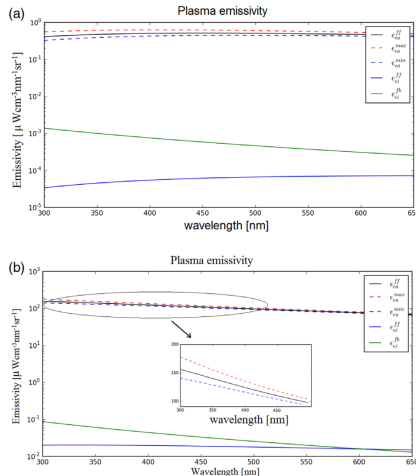


Figure 10. Emissivity of the Ar plasma estimated through the numerical solution of equations (1)–(3) for two typical conditions: (a) $T_e = 1 \text{ eV}$, $n_e = 10^{13} \text{ cm}^{-3}$ and (b) $T_e = 2 \text{ eV}$, $n_e = 10^{14} \text{ cm}^{-3}$. Values ϵ_{ee}^{max} and ϵ_{ee}^{min} are calculated through the use of the approximation of the integral in equation (1) based on equations proposed in Refs. [33, 40, 41]. The emissivity is shown on the logarithmic scale with the inset in part (b) demonstrating the approximations of equation (1) on a linear scale.

Kontinua v RF výbojích

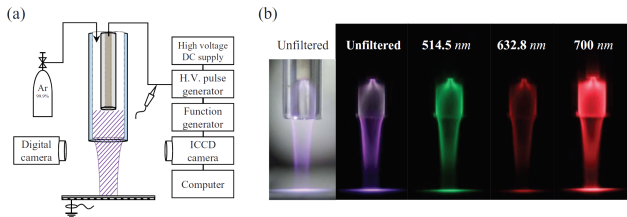


Figure 3. (a) The plasma apparatus for the argon n-PPJ with the relevant power system. (b) Optically unfiltered and filtered images taken using a DSLR camera with interference filters with center wavelengths of 514.5, 632.8 and 700 nm.

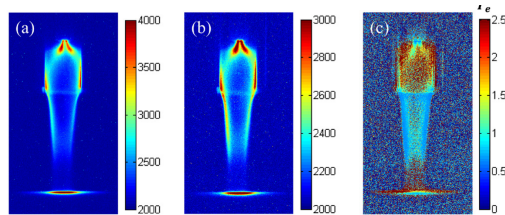
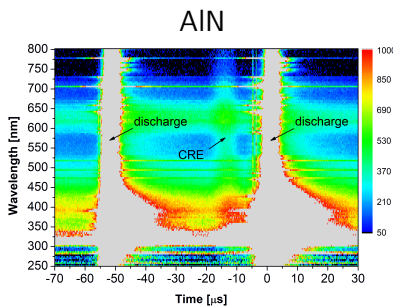
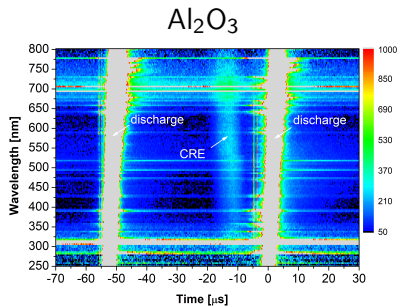


Figure 6. Raw images taken using a DSLR camera with (a) $\lambda_c^l = 514.5 \text{ nm}$ and (b) $\lambda_c^h = 632.8 \text{ nm}$ interference filters. (c) The 2D distribution of time-averaged T_e in the argon n-PPJ.

Spojité záření v temné fázi koplanárního výboje v heliu



- saturated light from the active discharge $> 10^6$ photons/point
- long-lasting emissions
- extra light with continuous spectrum observed in the time of the CRE

Měření elektrického pole z brzdného záření

- bremsstrahlung cross section

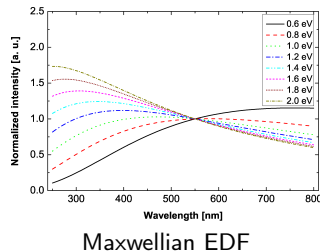
$$\frac{d\sigma(\varepsilon)}{d\lambda} = \frac{4\alpha}{3\pi} \frac{\varepsilon}{m_e c^2 \lambda} \sqrt{1 - \frac{hv}{\varepsilon}} \left(2 - \frac{hv}{\varepsilon} \right) \sigma_m(\varepsilon)$$

Kas'yanov V and Starostin A 1965 *Soviet Physics JETP-USSR* 21 193

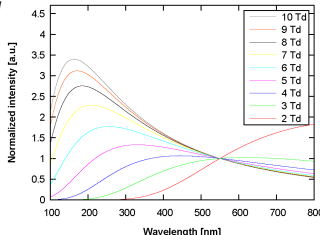
- bremsstrahlung intensity

$$I(\lambda; E/N) = \frac{1}{4\pi} n_e N h v \sqrt{\frac{2}{m_e}} \int_{hv}^{\infty} \frac{d\sigma(\varepsilon)}{d\lambda} f(\varepsilon; E/N)$$

- BKE solver for EDF $f(\varepsilon; E/N)$
- strong shape dependence in VIS for low E/N
- absolute intensity increases with E/N

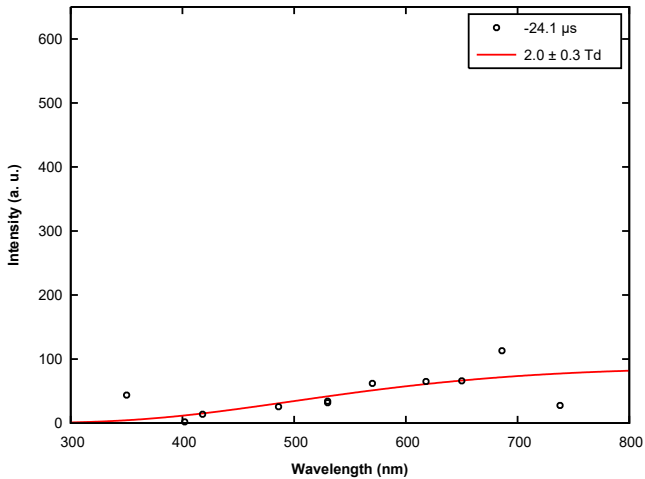


Maxwellian EDF

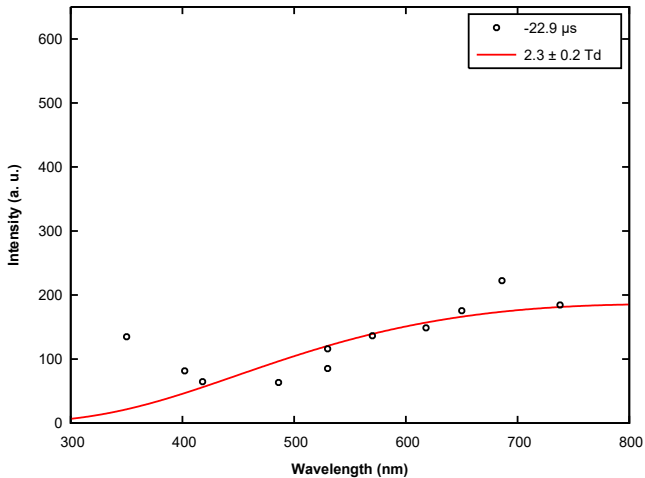


solution of BKE

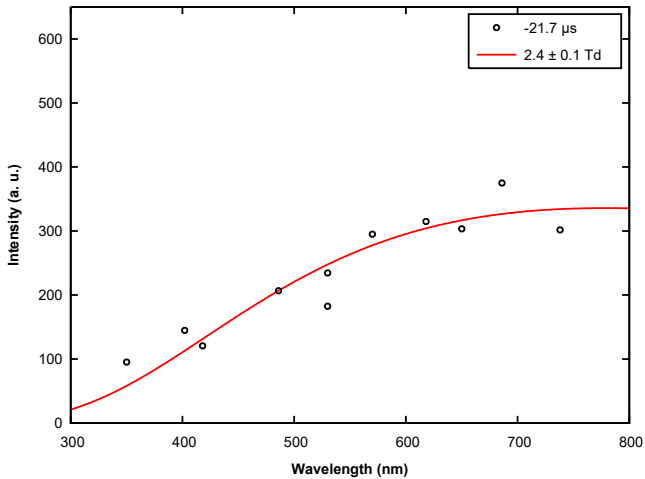
Temporally and spatially resolved continuum development



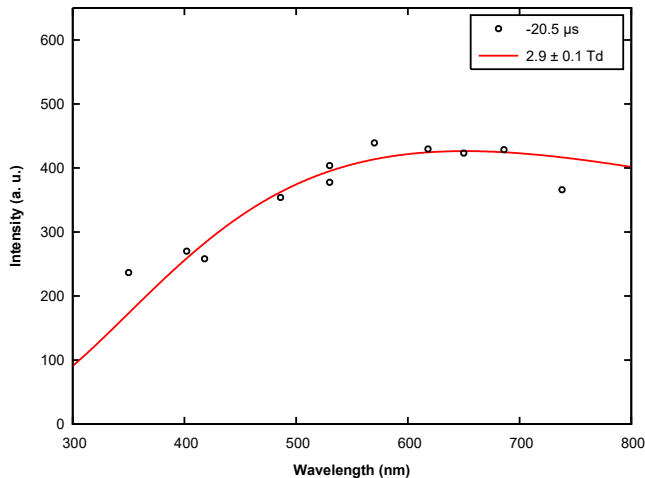
Temporally and spatially resolved continuum development



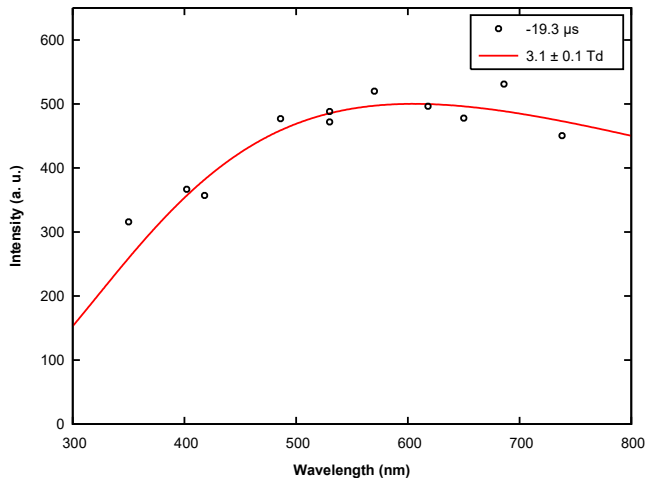
Temporally and spatially resolved continuum development



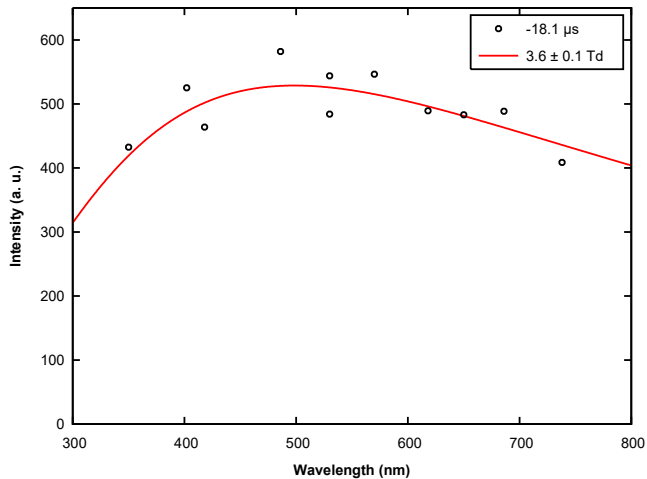
Temporally and spatially resolved continuum development



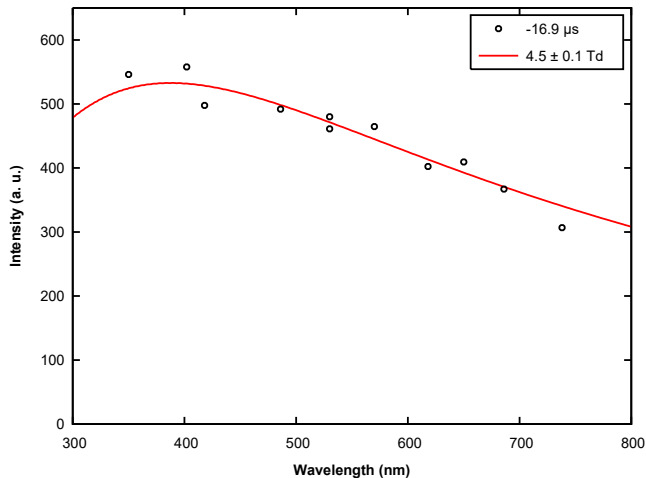
Temporally and spatially resolved continuum development



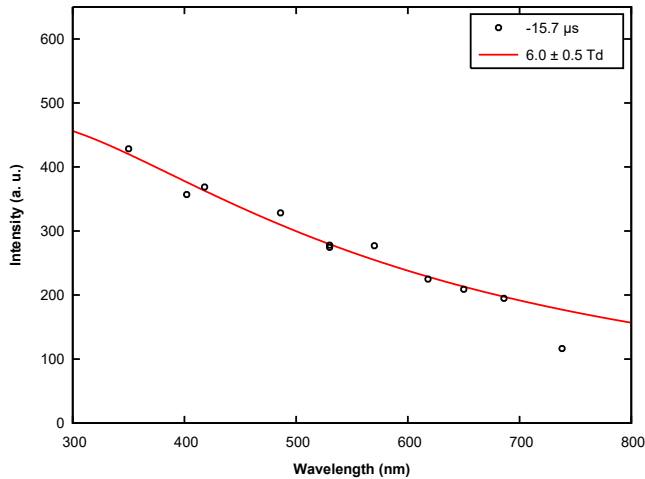
Temporally and spatially resolved continuum development



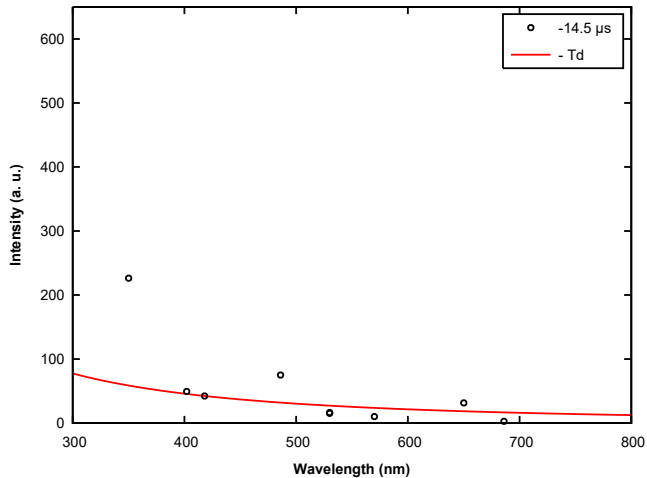
Temporally and spatially resolved continuum development



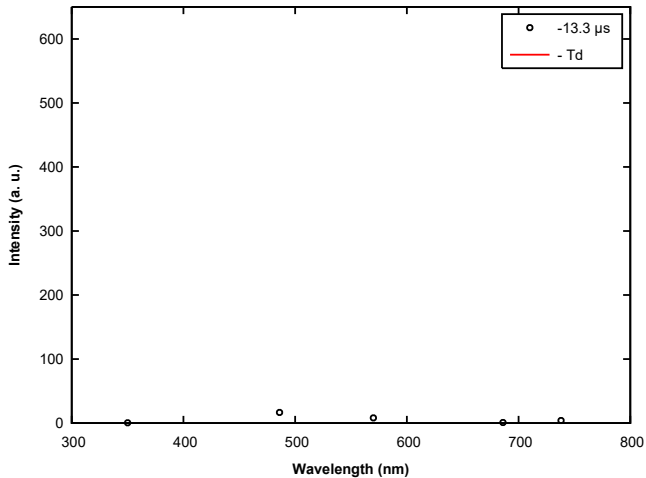
Temporally and spatially resolved continuum development



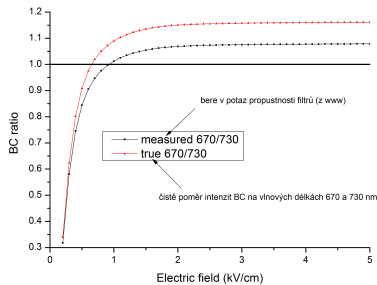
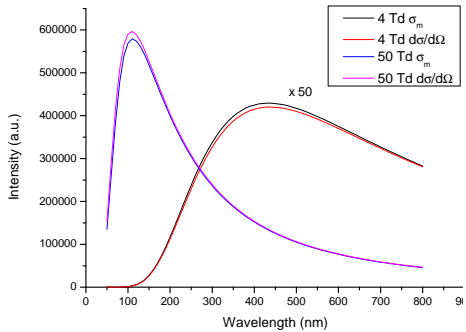
Temporally and spatially resolved continuum development



Temporally and spatially resolved continuum development



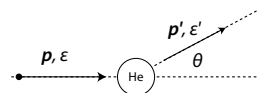
Poměr intenzit brzdného záření



Výpočet účinného průřezu neutrálního brzdného záření

- cross section for radiating electron

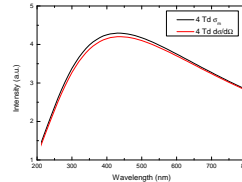
$$\frac{d\sigma(\varepsilon)}{d\lambda} = \frac{2\alpha}{3\pi m_e^2 c^2 \lambda} \frac{k'}{k} \int (\vec{p} - \vec{p}')^2 \frac{d\sigma_{el}}{d\Omega} d\Omega$$



$$\frac{d\sigma(\varepsilon)}{d\lambda} = \frac{4\alpha}{3\pi} \frac{\varepsilon}{m_e c^2 \lambda} \sqrt{1 - \frac{hv}{\varepsilon}} \int \left[2 - \frac{hv}{\varepsilon} - 2\sqrt{1 - \frac{hv}{\varepsilon}} \cos\theta \right] \frac{d\sigma_{el}}{d\Omega} d\Omega$$

- approximation for $hv \ll \varepsilon$

$$\frac{d\sigma(\varepsilon)}{d\lambda} = \frac{4\alpha}{3\pi} \frac{\varepsilon}{m_e c^2 \lambda} \sqrt{1 - \frac{hv}{\varepsilon}} \left(2 - \frac{hv}{\varepsilon} \right) \sigma_m(\varepsilon)$$



Kas'yanov V and Starostin A 1965 Soviet Physics JETP-USSR 21 193

Nesbet R K 1979 Variational calculations of accurate e-He cross sections below 19 eV, Phys. Rev. A 20